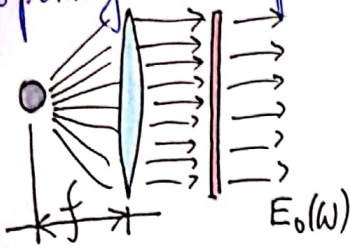


FRESNELOV UKLON

(29)

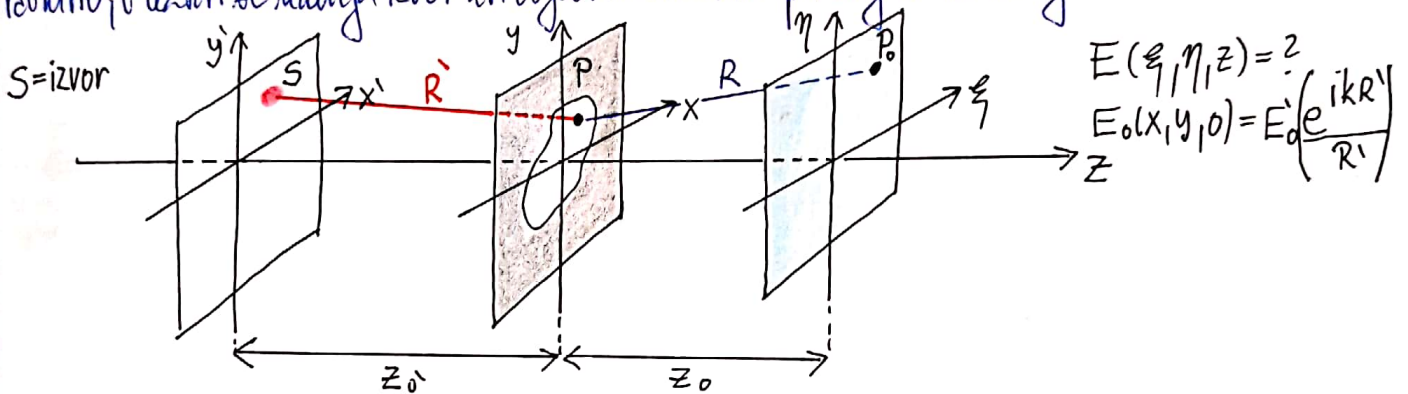
Doslej smo predpostavljali, da je optično polje, ki pride na objektivni zaslon xy povsod konstantno (E_0). To v praksi dožemo tako, da za osvetljevanje uporabimo kolimirano lasersko svetlobo, ali pa tako, da točkasti izvor svetlobe kolimiramo s pomočjo leče (in potem še z ustreznim spektralnim filtrom ustvarimo monokromatsko val.)



Če imamo opravila s koliranim drugačnim izprom, ki ga uporabimo za osvetljevanje, pa je vpadno polje na objektivnem zaslonu v splošnem funkcija kraja:

$$E_0 = E_0(x, y)$$

Prizemimo, da izvor svetlobe leži v ravnini $x'y'$ in da oddaja krogelno valovanje. Med ravnino, v kateri se nahaja izvor in objektivno ravnino pa naj bo razdalja z_0 .



$$E(\xi, \eta, z) = \frac{z}{R'} E_0\left(\frac{x}{R'}, \frac{y}{R'}, 0\right) = \frac{z}{R'} E_0\left(\frac{e^{ikR'}}{R'}\right)$$

V tem primeru uklonski integral zapišemo kot:

$$E(\xi, \eta, z) = \left(\frac{i}{\lambda}\right) E_0 \iint_{-\infty}^{\infty} f(x, y) \left(\frac{e^{ikR'}}{R'}\right) \left(\frac{e^{ikR}}{R}\right) dx dy$$

$f(x, y)$ = aperturna funkcija

Za smerne faktorje (Kirchoffov uklonski integral) smo spet privzeli, da v zgorajbo formulo prištevajo faktor 1 (oz. 1/2). Izraza za R in R' razvijemo v Taylorjevo vrsto

$$R^2 = (x - \xi)^2 + (y - \eta)^2 + z_0^2 \Rightarrow R = R_0 - \frac{\xi x}{R_0} - \frac{\eta y}{R_0} + \frac{x^2 + y^2}{2R_0} + \dots$$

$$R^2 = z_0^2 \left(1 + \frac{(x - \xi)^2 + (y - \eta)^2}{z_0^2}\right)$$

$$R = z_0 + \frac{1}{2} \frac{(x - \xi)^2 + (y - \eta)^2}{z_0} + \dots$$

Pri Fraunhoferjevem uklonu smo upoštevali le prve tri člene, četrti pa smo zanemarili. Pri Fresnelovem uklonu pa upoštevamo tudi četrti člen. Hkati ob tem izraz za R zapišemo malo drugače.

$$\text{Spomnimo se } \sqrt{1+u} = 1 + \frac{1}{2}u - \frac{1}{8}u^2 + \frac{1}{16}u^3 - \dots$$

členi, ki smo jih v zgorajem izrazu zanemarili, so zanemarljivi, če velja za vse vrednosti x in y , kjer je odprtina:

$$k \left(\frac{1}{8} \frac{[(x - \xi)^2 + (y - \eta)^2]^2}{z_0^3} \right) \ll 2\pi, \quad k = 2\pi/\lambda, \quad (x - \xi)^2 + (y - \eta)^2 \leq d^2$$

$$(d^4/z_0^3) \ll 8 \cdot \lambda \quad \text{oz} \quad (d/z_0)^4 \ll 8 \cdot \frac{\lambda}{z_0}$$

dimenzija odprtine = d

Primer: $z_0 = 1 \text{ m}$, $\lambda = 500 \text{ nm}$. Navedenemu pogoju zadostimo, ko velja $(d/z_0)^4 \gg 8(5 \cdot 10^{-7} \text{ m}/1 \text{ m}) = 4 \cdot 10^{-6}$.
 Kar pomeni $d \ll z_0 \sqrt[4]{4 \cdot 10^{-6}} \approx 1 \text{ m} (0.04) = 4 \text{ mm}$. Navedene vrednosti ustrezajo Fresnelovemu skenju.
 $F = \frac{d^2}{\lambda z_0} \ll \frac{16 \cdot 10^{-6}}{1 \cdot 5 \cdot 10^{-7}} \leq 30$ (Pri Fraunhoferjevem uklonu $F \ll 1$)

Imeli smo $R \approx z_0 + \frac{1}{2} \frac{(x-\xi)^2 + (y-\eta)^2}{z_0}$. Podobno zapišemo $R' \approx z_0' + \frac{1}{2} \frac{(x-x')^2 + (y-y')^2}{z_0'}$ (30)
 Oba izraza nato vstavimo v uklonsko formulo in dobimo:

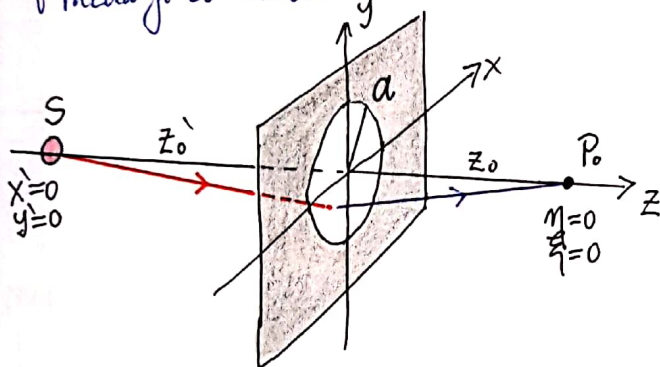
$$E(\xi, \eta, z) = \left(\frac{i}{\lambda} \right) \frac{E_0 e^{ikz_0} e^{ikz_0'}}{z_0 z_0'} \iint_{-\infty}^{\infty} f(x, y) e^{(ik/2z_0)[(x-\xi)^2 + (y-\eta)^2]} e^{(ik/2z_0')[(x-x')^2 + (y-y')^2]} dx dy$$

Člene v imenovalcu smo pomorno aproksimirali kar z z_0 oz. z_0' .

Zgornji izraz je za (analitično) računanje precej težji, kot Fraunhoferjev uklon. Zato bomo obravnavali le dva primera: Fresnelove črnske plošče in uklon na pravokotni reži oz. ostrem robu.

FRESNELOVA ČRNSKA PLOŠČA

V objektivni ravnini imamo okroglo režo s polmerom a . Oz. z poteka čez središče reže. Točkasti izvor svetlobe je na osi z v razdalji z_0' pred režo. Zanimava nas intenziteta svetlobe na osi z v razdalji z_0 za režo.



$$E(P_0) = \left(\frac{i}{\lambda} \right) \frac{E_0 e^{ik(z_0'+z_0)}}{z_0' z_0} \iint f(x, y) e^{\frac{ik}{2z_0'}(x'^2+y'^2)} e^{\frac{ik}{2z_0}(x^2+y^2)} dx dy$$

$$dx dy = 2\pi \rho^2 d\rho, \quad f(x, y) = \begin{cases} 1 & \rho \leq a \\ 0 & \rho > a \end{cases}, \quad \rho = \sqrt{x^2+y^2}$$

$$E(P_0) = \left(\frac{2\pi i}{\lambda} \right) \frac{E_0 e^{ik(z_0'+z_0)}}{z_0' z_0} \int_0^a e^{\frac{ik\rho^2}{2} \left(\frac{1}{z_0'} + \frac{1}{z_0} \right)} \rho d\rho$$

vpeljemo $\frac{1}{L} = \frac{1}{z_0'} + \frac{1}{z_0}$

Dobimo integral

$$\int_0^a e^{\frac{ik\rho^2}{2L}} \rho d\rho, \quad \text{vpeljemo } u = \frac{ik\rho^2}{2L} \Rightarrow du = \frac{ik\rho d\rho}{L} \text{ oz. } \rho d\rho = \frac{L du}{ik}$$

$$= \frac{L}{ik} \int_0^{\frac{ika^2}{2L}} e^u du = \frac{L}{ik} \left[e^{\frac{ika^2}{2L}} - 1 \right] = \frac{L}{ik} e^{\frac{ika^2}{4L}} \left[e^{\frac{ika^2}{4L}} - e^{-\frac{ika^2}{4L}} \right] = \frac{2iL}{ik} e^{\frac{ika^2}{4L}} \sin\left(\frac{ka^2}{4L}\right) = \frac{L}{\pi} e^{\frac{ika^2}{4L}} \sin\left(\frac{ka^2}{4L}\right)$$

Od tod sledi izraz za polje $E(P_0) = \left[2iL E_0 e^{ik(z_0'+z_0+\frac{a^2}{4L})} \sin\left(\frac{ka^2}{4L}\right) \right] \frac{1}{z_0' z_0}$

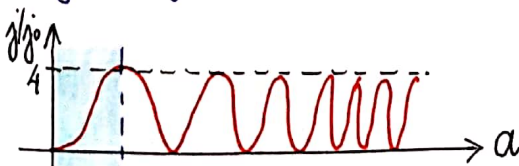
Za gostoto energijskega toka j potem dobimo

$$j \propto |E(P_0)|^2 = (4L^2 E_0^2) \left[\sin^2\left(\frac{ka^2}{4L}\right) \right] / z_0'^2 z_0^2 = \frac{4L^2 E_0^2}{L^2 (z_0'+z_0)^2} \sin^2\left(\frac{ka^2}{4L}\right)$$

Če upoštevamo še $\frac{1}{L} = \frac{1}{z_0'} + \frac{1}{z_0}$ oz. $z_0 z_0' = z_0' L + z_0 L = L(z_0' + z_0) \Rightarrow (z_0 z_0')^2 = L^2 (z_0' + z_0)^2$

$$j = 4 j_0 \sin^2(k a^2 / 4L)$$

z j_0 smo ouradili izraz $\frac{E_0^2}{(z_0'+z_0)^2} \rightarrow$ to predstavlja gostoto energijskega toka, ki bi jo v točki P_0 ustvaril izvor S , če ne bi bilo reže.



$\leftarrow a_1$

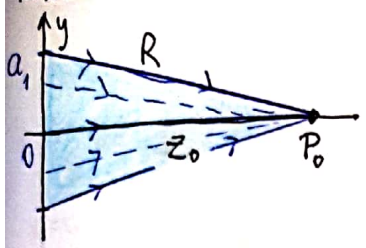
prva Fresnelova cona.

$$k a_1^2 / 4L = (\pi/2), \quad \frac{2\pi}{\lambda} \frac{a_1^2}{4L} = \frac{\pi}{2} \Rightarrow a_1 = \sqrt{\lambda L}$$

POLMER
PRVE
FRESNELOVE CONE

Prva Fresnelova cona svetlobo vedno zbira. Deluje torej kot zbiralna leča. To izkoriščamo pri t.i. kamenu na luhujico (camera obscura). Sekundarni sferični valovi, ki izvirajo iz območja zunaj prve Fresnelove cone, med seboj konstruktivno interferirajo. To pomeni da je njihov rezultanten žarek zamujen od π .

Račun naredimo za $z_0 = \infty \Rightarrow L = z_0$ in $a_1^2 = \lambda \cdot z_0$



$$R^2 = z_0^2 + a_1^2 = z_0^2 + \lambda \cdot z_0$$

Fazni zamisel za žarek oz. valovanje, ki izvira iz robu cone je

$$\phi_1 = k \cdot R = k \sqrt{z_0^2 + \lambda z_0}$$

Fazni zamisel za valovanje, ki izvira iz sredine cone pa je

$$\phi_0 = k \cdot z_0$$

Veljati mora:

$$\Delta\phi = \phi_1 - \phi_0 = \pi, \text{ potem bo ušlo } (\phi - \phi_0) < \pi \quad \forall \rho < a_1$$

$$k(R - z_0) = \pi$$

$$(R - z_0) = \frac{\pi \lambda}{2\pi} = \frac{\lambda}{2} \quad \text{zakasnik za manj kot pol valovne dolžine}$$

$$a = a_1 \Rightarrow R = \sqrt{z_0^2 + \lambda z_0}$$

$$R - z_0 = \sqrt{z_0^2 + \lambda z_0} - z_0 = z_0 \left(\sqrt{1 + \lambda/z_0} \right) - z_0$$

$$= z_0 + \frac{1}{2}\lambda - \frac{1}{8}\frac{\lambda^2}{z_0} + \frac{1}{16}\frac{\lambda^3}{z_0^2} \dots - z_0$$

$$\approx \frac{1}{2}\lambda \quad \checkmark$$

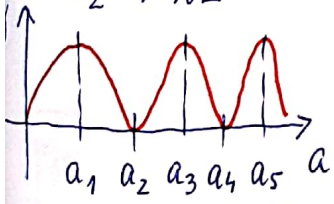
Če širino reže povečujemo na območje $a > a_1$, se pojavi destruktivna interferenca (polje v profizi) med sekundarnimi valovi, ki izvirajo iz centralnega dela in ostimi iz robnih delov. Zato začne glavni svetlobni žarek j. pojemati. To se dogaja na območju t.j. druge Fresnelove cone, ki se razkari

primuminum $j(a)$

$$\frac{k a_2^2}{4 \cdot L} = 2 \left(\frac{\pi}{2} \right) = \pi$$

$$\frac{2\pi a_2^2}{\lambda \cdot 4 \cdot L} = \frac{2\pi}{2} = 2 \cdot \frac{\pi}{2}$$

$$a_2^2 = 2 \cdot \lambda L$$



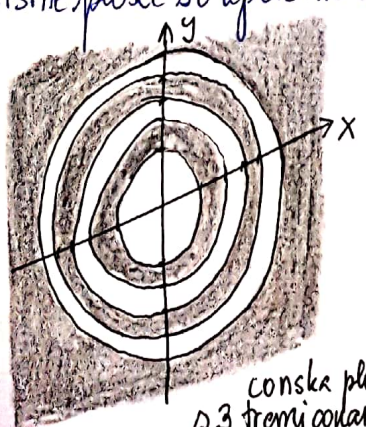
$$a_1 = \sqrt{\lambda L} < a < \sqrt{2\lambda L} = a_2 \quad \text{druga Fresnelova cone}$$

$$\boxed{a_{N-1} = \sqrt{(N-1)\lambda L} < a < \sqrt{N\lambda L}} \quad N\text{-ta Fresnelova cone}$$

$$N = 1, 2, 3, 4, \dots$$

Na območju od $a_2 = \sqrt{2\lambda L}$ do $a_3 = \sqrt{3\lambda L}$ vrednost j. spet raste. Nato na območju $a_3 = \sqrt{3\lambda L} < a < \sqrt{4\lambda L} = a_4$ spet pojemati, ...

Fresnelova leča: Če obrnemo v ravnini xy le disk dele oz. kolobarje oz. cone, ki so ali like ali pa samo sode, dobimo le konstruirano interferenco. Takle napravijo (konstrukcijska) potem zbira svetlobo na podobni način, kot klasična leča. Glavna svetlobnega žarka v točki P_0 je pri uporabi konstr. plošče dosti večja, kot bi bila, če bi izvor S točko P_0 direktno osvetljeval. Površne plošče so uporabne za fokusiranje, kadar nimamo možnosti izdelave leč (zaradi x_{min}). Glavna slabost je ugihova kromatična aberacija $f_L = f_L(\lambda)$



$$\frac{1}{z_0} + \frac{1}{z_0} = \frac{1}{f_L} = \frac{1}{L}, \quad L = (a_1^2 / \lambda)$$

$$z_0 \rightarrow \infty, \quad f_L = a_1^2 / \lambda, \quad \text{gorišča razdalja pri dani vrednosti } a_1$$

$$a_{N+1}^2 - a_N^2 = (N+1)L - NL = \lambda \cdot L, \quad N \rightarrow \infty$$

$$\text{za velike vrednosti } a \text{ lahko to zapišemo: } a_{N+1}^2 - a_N^2 = (a_{N+1} + a_N)(a_{N+1} - a_N)$$

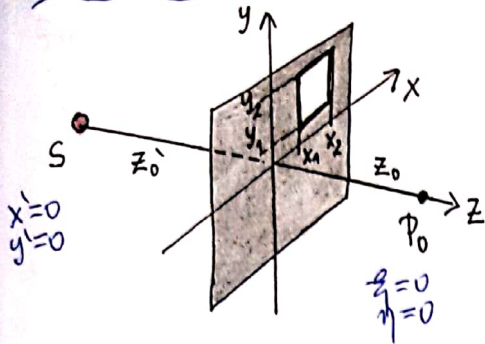
$$\Rightarrow 2\bar{a}\Delta a = \lambda \cdot L = a_1^2$$

$$\Rightarrow f_L = \frac{a_1^2}{\lambda} = \frac{2\bar{a}\Delta a}{\lambda}$$

goriščna razdalja konstr. leče z velikim številom plošč.

FRESNELOV UKLON NA ROBU IN NA PRAVOKOTNI REŽI

32



Oz z izberemo tako, da točkasti izvor svetlobe S in opazovalna točka P₀ ležita na njej.
Pravokoten režaj pa se razproštrava na območju $x_1 < x < x_2$ in $y_1 < y < y_2$.

$$f(x,y) = \begin{cases} 1, & x_1 < x < x_2 \\ & y_1 < y < y_2 \\ 0, & \text{sonce} \end{cases}$$

Podobno, kot pri Fresnelovih conah, dobimo

$$E(P_0) = \left(\frac{i}{\lambda}\right) \frac{E_0 e^{ikz_0}}{z_0} \iint_{-\infty}^{\infty} f(x,y) e^{\frac{ik(x^2+y^2)}{2z_0}} dx dy$$

$$E(P_0) \propto \int_{x_1}^{x_2} e^{\frac{ikx^2}{2L}} dx \int_{y_1}^{y_2} e^{\frac{iky^2}{2L}} dy, \quad \frac{1}{L} = \frac{1}{z_0} + \frac{1}{z_0}$$

vpeljemo novi spremenljivki: $u = \sqrt{\frac{k}{\pi L}} x, v = \sqrt{\frac{k}{\pi L}} y \Rightarrow$

$$E(P_0) \propto \int_{u_1}^{u_2} e^{i\frac{\pi}{2}u^2} du \int_{v_1}^{v_2} e^{i\frac{\pi}{2}v^2} dv$$

Ta integral izrazimo s.ti. Fresnelovimi integrali $S(x)$ in $C(x)$.

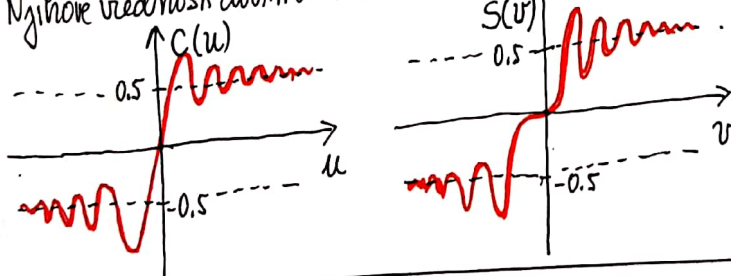
Fresnelovi integrali

$$\left. \begin{aligned} C(u) &= \int_0^u \cos\left(\frac{1}{2}\pi x^2\right) dx \\ S(v) &= \int_0^v \sin\left(\frac{1}{2}\pi x^2\right) dx \end{aligned} \right\} \text{to sta dve transcendentalni funkciji}$$

$$\Rightarrow \int_0^u e^{i\frac{\pi}{2}x^2} dx = C(u) + iS(u) = \frac{(1+i)}{2} \operatorname{erf}\left(\frac{\sqrt{\pi}(1-i)u}{2}\right)$$

$$\operatorname{erf}(x) = \frac{2}{\sqrt{\pi}} \int_0^x e^{-t^2} dt$$

Njihove vrednosti dobimo v tabelah (Mathematica, Matlab, ...)



Tipične vrednosti:

$$C(-\infty) = -\frac{1}{2}, C(0) = 0, C(\infty) = \frac{1}{2}$$

$$S(-\infty) = -\frac{1}{2}, S(0) = 0, S(\infty) = \frac{1}{2}$$

Obe funkciji $C(u)$ in $S(v)$ sta lihi!

Fresnelovo uklonsko sliko torej lahko zapišemo kot

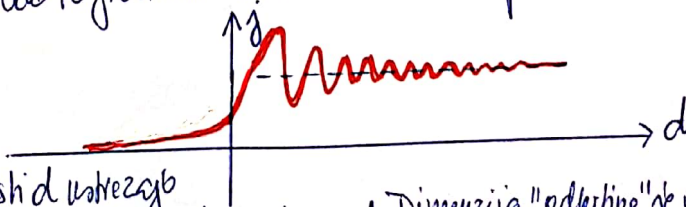
$$E(P_0) \propto [C(u) + iS(u)] \Big|_{u_1}^{u_2} \cdot [C(v) + iS(v)] \Big|_{v_1}^{v_2}$$

Na osnovi rezultata lahko obravnavamo tudi uklon na varnem robu
To ustreza 1D primeru $x_1 = -\infty \Rightarrow u_1 = -\infty$ in $x_2 = d \Rightarrow u_2 = \sqrt{\frac{k}{\pi L}} d$

$$E(P_0) \propto [C(u_2) + iS(u_2) + \frac{1}{2} + i\frac{1}{2}]$$

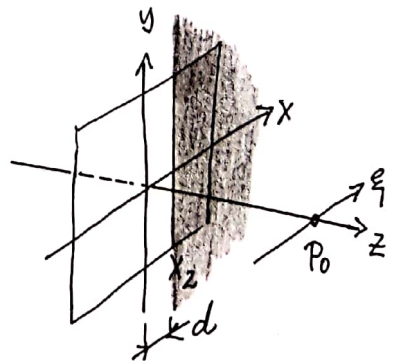
$$I(P_0) \propto |E(P_0)|^2 \propto \left[\left(C(u_2) + \frac{1}{2}\right)^2 + \left(S(u_2) + \frac{1}{2}\right)^2 \right] = \left(C(u_2) + \frac{1}{2}\right)^2 + \left(S(u_2) + \frac{1}{2}\right)^2$$

Zanimiva nas odvisnost $I(d)$ - namreto da zaslon miruje in spreminjamo opazovalno točko P₀ vzdolž osi z, točko P₀ fiksiramo in si mislimo da se pomika rob v smeri osi x.



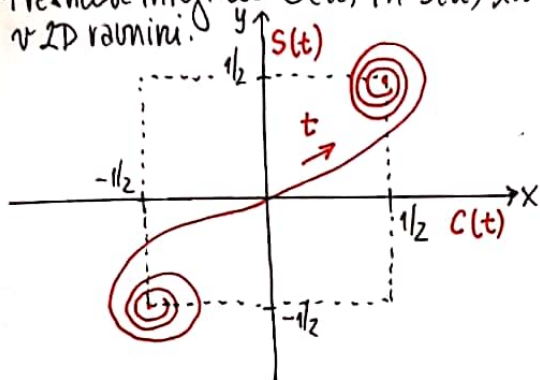
Negativne vrednosti d ustrežajo situaciji, ko je točka P₀ v geometrijski senci.

! Dimenzija "odprtine" je v tem primeru v principu ∞ , zato Fraunhoferjev režim ne moremo dojeti.



COURNULJEVA OZ EULERJEVA SPIRALA (CLOTHOIDEA)

Fresnelove integrale $C(u)$ in $S(u)$ lahko prikažemo tako, da narišemo krivuljo $(C(t), S(t))$ v 2D ravnini.



$$t \rightarrow \infty, C(\infty) = S(\infty) = 1/2$$

$$\text{STA: } t \rightarrow -\infty, C(-\infty) = S(-\infty) = -1/2$$

Če vozimo po spirali s konstantno hitrostjo v , potem kotna hitrost $\omega = \frac{v}{R_k} = \text{dev. linearne naraščanja}$

dolžina krivulje $ds = \sqrt{[C'(t)]^2 + [S'(t)]^2} dt$

$$s = \int_0^t \sqrt{C'^2(t) + S'^2(t)} dt \propto t$$

strmina krivulje glede na horizontalno os

$$\frac{dy}{dx} = \frac{\sin(\frac{1}{2}\pi t^2)}{\cos(\frac{1}{2}\pi t^2)} = \tan\left(\frac{\pi}{2}t^2\right) = \tan\theta \quad R_k = \text{krivinski r.}$$

$$\theta = \frac{\pi}{2}t^2, \text{ ukrivljenost } \kappa = \frac{d\theta}{dt} = \pi \cdot t = \left(\frac{1}{\text{krivinski radij}}\right)$$

Ukrivljenost je sorazmerna z dolžino trajektorije (poh)
To je pomembno pri cestnih zavojih, roller coasterjih, ...

INTERFERENCA SVETLOBE - INTERFEROMETRI

Uklon in interferenca sta pravzaprav manifestacija ene in iste pojave - superpozicije optičnega polja. Pri pogledu u uklonu so nas zanimali predvsem uklonski vzori oz. slike. V pogledu o interferenci pa se bomo bolj poglobili aplikativno = INTERFEROMETROM.

Polje števno obravnavamo kot skalarno količino (To v eksperimentalnih zahteva, da imajo vsa valovanja enako polarizacijo). $E = E(\vec{r}, t)$

INTERFERENČNI VZOREC DVEH RAVNIH VALOVANJ:

$$\mathbf{E}_1 = E_{10} e^{i\vec{k}_1 \cdot \vec{r} - i\omega t + i\delta_1}, \quad \mathbf{E}_2 = E_{20} e^{i\vec{k}_2 \cdot \vec{r} - i\omega t + i\delta_2}, \quad E_{10}, E_{20} \in \mathbb{R}$$

Valovanji imata enako frekvenco oz. valovno dolžino. Pričujemo, da sta E_{10} in E_{20} realni števili. Celotno optično polje je potem:

$$\begin{aligned} E &= E_1 + E_2 = E_{10} e^{i\vec{k}_1 \cdot \vec{r} - i\omega t + i\delta_1} + E_{20} e^{i\vec{k}_2 \cdot \vec{r} - i\omega t + i\delta_2} \\ &= E_{10} e^{i\phi_1 - i\omega t} + E_{20} e^{i\phi_2 - i\omega t}; \quad \phi_1 = \vec{k}_1 \cdot \vec{r} + \delta_1; \quad \phi_2 = \vec{k}_2 \cdot \vec{r} + \delta_2 \end{aligned}$$

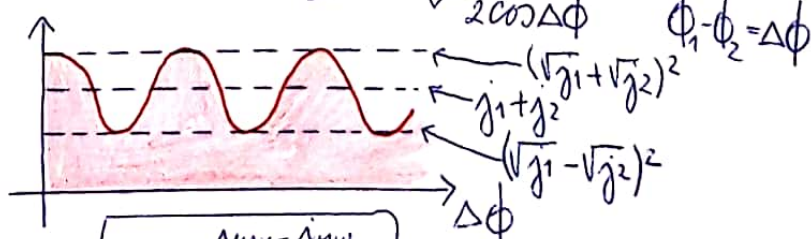
Zanimus nas gostota svetlobnega toka

$$j = \langle \vec{S} \rangle = \frac{1}{2} \epsilon \epsilon_0 |\vec{E}|^2 c = \frac{1}{2} \epsilon_0 |\vec{E}|^2 n \cdot c \quad (z \mu = 1)$$

$$\begin{aligned} j &\propto (E_1 + E_2)(E_1^* + E_2^*) = (E_{10} e^{i\phi_1 - i\omega t} + E_{20} e^{i\phi_2 - i\omega t})(E_{10} e^{-i\phi_1 + i\omega t} + E_{20} e^{-i\phi_2 + i\omega t}) \\ &= E_{10}^2 + E_{20}^2 + E_{10} E_{20} [e^{i\phi_1 - i\phi_2} + e^{-i\phi_1 + i\phi_2}] \end{aligned}$$

$$\Rightarrow j = j_1 + j_2 + 2\sqrt{j_1 j_2} \cos \Delta\phi$$

to odvisnost v eksperimentalni vidimo le, če se $\Delta\phi$ ne spreminja s časom, (KOHARENCA \rightarrow)



Vidljivost oz. kontrast interferenčnega vzorca

$$v = \frac{j_{\max} - j_{\min}}{j_{\max} + j_{\min}}$$

$0 < v < 1$ območje vidnosti

Posledni primer: $E_{10} = E_{20} = E_0 \Rightarrow j_1 = j_2 = j_0$

$$j = 2j_0 + 2j_0 \cos \Delta\phi$$

$$= 2j_0(1 + \cos \Delta\phi)$$

$$j = 4j_0 \cos^2(\Delta\phi/2)$$

uporabimo samo zveze

$$\cos^2(\Delta\phi/2) + \sin^2(\Delta\phi/2) = 1$$

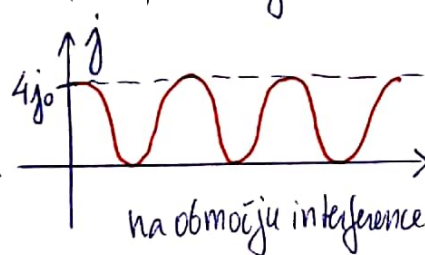
$$\cos^2(\Delta\phi/2) - \sin^2(\Delta\phi/2) = \cos(\Delta\phi)$$

$$\Rightarrow 1 + \cos \Delta\phi = 2 \cos^2(\Delta\phi/2)$$

$$1 - \cos \Delta\phi = 2 \sin^2(\Delta\phi/2)$$

Kako pa je z obnašanjem energijskega toka?

Na nerazdeljenih mestih se j poveča, na nerazdeljenih zmanjša. Gre za preprosto preureditev. Povprečni energijski tok čez veliko območje prostora je $\langle j \rangle = \frac{1}{2}(4 \cdot j_0) = 2j_0$, kar ustreza gostoti energijskega toka začetnih dveh valovavij.



zapišimo:

$$E_1 = E_0 e^{ik_1 x} e^{ik_2 z} e^{-i\omega t}$$

$$E_2 = E_0 e^{-ik_1 x} e^{ik_2 z} e^{-i\omega t}$$

$$k_1 = (k_x, 0, k_z), k_2 = (-k_x, 0, k_z)$$

interferenca

$$E = E_1 + E_2 = E_0 e^{ik_2 z - i\omega t} (e^{ik_1 x} + e^{-ik_1 x})$$

$$= E_0 e^{ik_2 z - i\omega t} \cdot 2 \cos(k_x x)$$

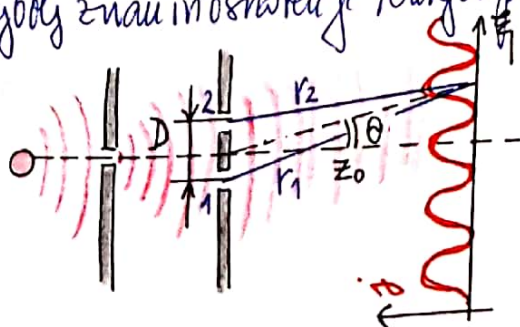
$$j \propto |E|^2 = 4 \cdot E_0^2 \cos^2(k_x x) \Rightarrow 4 \cdot j_0 \cos^2 k_x x = j$$

V rečeni interferenčni napravi ena valovavja razdelimo na dva enaka dela. Naprave delimo v dve kategoriji:

- A) Interferometri, pri katerih razdelimo valovno fronto valovavij (Youngov poskus, ...)
- B) Interferometri, pri katerih razdelimo amplitudo valovavij (Michelsonov interf., ...)

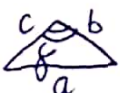
A) INTERFERENCA Z DELITVIO VALOVNE FRONTE

Najbolj znan in osnoven je Youngov poskus (1802, Thomas Young, GB, fizik)



$$\Delta\phi = k(r_1 - r_2) = k \cdot \Delta r$$

Zato, da dobimo koherentno upadno valovavje, svetlobo iz monokromatskega izvora speljemo skozi ozko režo. Potem jo (simeotično) pošljemo na zaslon z dvema ozkima režama in opazujemo interferenco na oddaljenem zaslonu. (Problem je čisto ozka Fraunhoferjeva uklona na dveh ozkih režah.)

kosinusni izreč  $a^2 = b^2 + c^2 - 2bc \cos \gamma$

$$r_1^2 = r^2 + (D/2)^2 - 2r(D/2) \cos \vartheta$$

$$r_2^2 = r^2 + (D/2)^2 - 2r(D/2) \cos \vartheta$$

$$r_1^2 = r^2 + (D/2)^2 + 2r(D/2) \cos \vartheta$$

$$r_2^2 = r^2 + (D/2)^2 - 2r(D/2) \cos \vartheta$$

$$\Rightarrow r_1^2 - r_2^2 = 2r(D/2) \cos \vartheta = 2rD \cos \vartheta$$

$$r_1^2 - r_2^2 = 2rD \sin \theta$$

$$\vartheta = \pi - \gamma \Rightarrow$$

$$\cos \vartheta = -\cos \gamma$$

evični odštejemo

$$\gamma = \frac{\pi}{2} - \theta$$

$$\cos \gamma = \sin \theta$$

$$\text{za } r_1, r_2 \gg D \Rightarrow r_1^2 - r_2^2 = (r_1 - r_2)(r_1 + r_2) \approx 2r \cdot \Delta r = 2rD \sin \theta \Rightarrow \Delta r \approx D \sin \theta$$

$$j = 4 \cdot j_0 \cdot \cos^2\left(\frac{\Delta\phi}{2}\right) = 4 \cdot j_0 \cdot \cos^2\left(\frac{k \cdot D \cdot \sin\theta}{2}\right) = 4 \cdot j_0 \cos^2\left(\frac{k D \cdot \sin\theta}{2}\right)$$

Maximume intenzitete dobimo pri $\left(\frac{\Delta\phi}{2}\right) = 0, \pi, 2\pi, 3\pi \dots = N \cdot \pi$
(konstruktivna interferenca)

$$\Rightarrow \frac{k \cdot D \cdot \sin\theta}{2} = k \cdot \frac{\Delta r}{2} = N \cdot \pi \Rightarrow \Delta r = D \cdot \sin\theta = N \left(\frac{2\pi}{k}\right) = N \cdot \lambda, N = 0, 1, 2, 3 \dots$$

Minimume intenzitete pa pri $\left(\frac{\Delta\phi}{2}\right) = (2N+1)\frac{\pi}{2}, N = 0, 1, 2, \dots$
(destruktivna interferenca)

$$\Rightarrow \frac{k \cdot D \cdot \sin\theta}{2} = k \cdot \frac{\Delta r}{2} = (2N+1)\frac{\pi}{2} \Rightarrow \Delta r = D \cdot \sin\theta = (2N+1)\left(\frac{2\pi}{k}\right) \cdot \frac{1}{2} = (2N+1) \cdot \frac{\lambda}{2}$$

$$N = 0, 1, 2, 3 \dots$$

Periodični vzorec, ki se pojavi v oddaljenem polju oz. na oddaljenem zaslonu, se pojavlja s periodo Δx_0 ki je podana z izrazom

$$\Delta\left(\frac{k \cdot D \cdot \sin\theta}{2}\right) = \pi \Rightarrow k \cdot D \cdot \Delta(\sin\theta) = 2\pi,$$

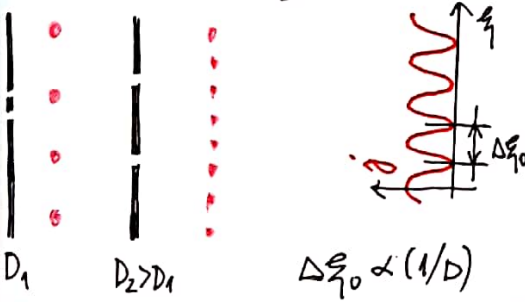
$$\theta \ll 1 \Rightarrow k \cdot D \cdot \Delta\theta = 2\pi$$

$$k \cdot D \cdot \left(\frac{\Delta x_0}{z_0}\right) = 2\pi \Rightarrow \Delta x_0 = \left(\frac{\lambda z_0}{D}\right)$$

Blíže, kot so reže (D), bolj razumljivi so uklonski minimumi in obratno.

$$D = 1 \mu\text{m}, z_0 = 1 \text{m} \Rightarrow \Delta x_0 = \frac{5 \cdot 10^{-7} \text{m} \cdot 1 \text{m}}{10^{-6} \text{m}} = 0.5 \text{m}$$

$$D = 1 \text{mm}, z_0 = 1 \text{m} \Rightarrow \Delta x_0 = \frac{5 \cdot 10^{-7} \text{m} \cdot 1 \text{m}}{10^{-3} \text{m}} = 0.5 \text{mm}$$



Pokažimo, da je dobljeni rezultat ekvivalenten bistemu, ki smo ga dobili pri obravnavi Fraunhoferjevega uklona. Za nitu N rež nihred v medobojnem razmiku D smo imeli:

$$j = j_0 \left(\frac{\sin^2\left(\frac{N \cdot k \cdot D \cdot \sin\theta}{2}\right)}{\sin^2\left(\frac{k \cdot D \cdot \sin\theta}{2}\right)} \right) \cdot \left(\frac{\sin\left(\frac{k \cdot d \cdot \sin\theta}{2}\right)}{\left(\frac{k \cdot d \cdot \sin\theta}{2}\right)} \right)^2$$

glej stran 26!

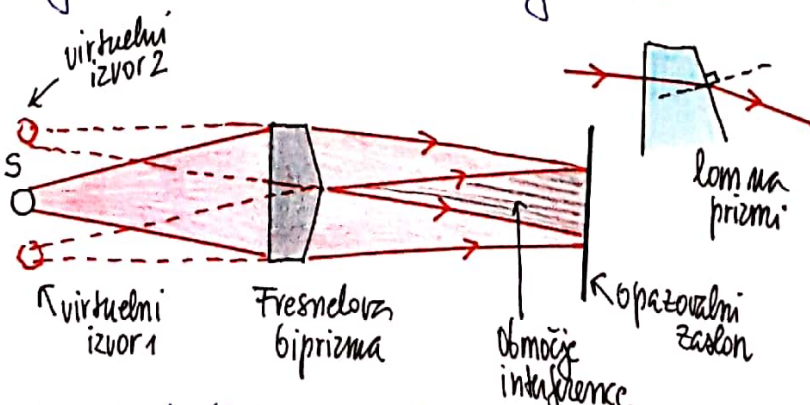
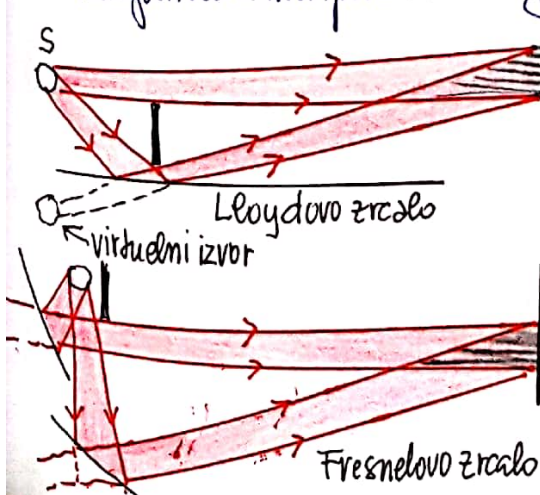
Če so reže ozke, velja $\delta = k \cdot d \cdot \sin\theta \ll \Delta = k \cdot D \cdot \sin\theta \approx 1$
Tatrat ima strukturni faktor približno vrednost 1

$$N=2 \Rightarrow j = j_0 \frac{\sin^2(2k \cdot D \cdot \sin\theta/2)}{\sin^2(k \cdot D \cdot \sin\theta/2)} = j_0 \frac{(2 \sin(k \cdot D \cdot \sin\theta/2) \cos(k \cdot D \cdot \sin\theta/2))^2}{\sin^2(k \cdot D \cdot \sin\theta/2)} = 4 \cdot j_0 \cos^2\left(\frac{k \cdot D \cdot \sin\theta}{2}\right)$$

Dobljeni izraz je ekvivalenten bistemu zgoraj.

ALTERNATIVE

Ker se pri Youngovem eksperimentu težko izognemo podrobnejšim povezanim s končno širino reže (d), so Youngovi podobni pri poskušali analogni interferenčni vzorec ustvariti tudi na druge načine.



Eksperiment z biprizmo lepo pokažemo z uporabo raztrganejših leskdljez shopa!